

多孔壁構造の透過率

大分工業大学工学部 正員・櫻田 操
 大分工業大学工学部 正員 竹光義信
 大阪市立大学工学部 正員 角野昇八

1. 緒言

箱型消波工の反射率に関して、その直角入射の場合についての理論的および実験的検討を行ない、その結果は既に発表した¹⁾。また、斜め入射の場合についても反射率に対する理論式を誘導し、その計算結果より斜め入射の場合の方が直角入射の場合よりも反射率が小さくなる場合があることを示した²⁾。しかしながら、周期や波高などの波の特性とそれらの理論式で用いた箱型消波工の透過部分（前面板および下面板の部分）の透過率 η_T との関係は不明のままである。

本研究は、箱型消波工の透過部分の透過率 η_T と波の特性との関係を実験的に検討したものである。 η_T の測定は、鉛直多孔壁^{3), 4), 5)}についても同時に行ない、箱型消波工の場合と比較した。

2. 実験施設および方法

実験は、大分工業大学工学部水工実験室の、フランプ型造波板を有する、二次元造波水槽（長さ 22 m, 幅 1 m, 高さ 1 m）を用い、模型を造波板から 1.2 m の位置に設置して、入射波高と透過波高を測定して行なった。入射波高の測定は、容量式波高計を用いて、模型より沖側 6 m の位置で測定した。また、透過波高は、模型の背後から陸側に 1.0 m および 1.2 m の 2箇所で測定してそれらの平均値を用いた。実験に用いた模型は、箱型消波工の場合は、著者らの既往の研究に用いた箱型消波工の模型¹⁾（壁厚 $B = 4 \text{ cm}$, 下面板奥行き $L = 15 \text{ cm}$ ）の透過部分を用い、また、鉛直多孔壁の場合は、高さ 100 cm, 横 98 cm, 厚さ 2 cm の耐水合板に、碁盤の目状に円形孔（直径 7 cm, 開孔率 0.25）をあけた板を 6 枚製作し、それらをボルトによって合わせて壁厚を変化 ($B = 2 \text{ cm}, 4 \text{ cm}, 8 \text{ cm}, 12 \text{ cm}$) させることとした。実験に用いた水深は、 $H = 60 \text{ cm}$ （一定）とし、実験波の周期は、 $T = 0.6 \text{ sec} \sim 1.4 \text{ sec}$ の範囲で 0.2 sec 毎に変化させ、波高は、 $H = 3 \text{ cm} \sim 9 \text{ cm}$ として波形勾配が $H/C = 0.012 \sim 0.077$ の範囲で行なった。静水面からの模型の天端高さは、箱型消波工の場合は、 $H_c = 15 \text{ cm}$ 、鉛直多孔壁の場合は $H_c = 40 \text{ cm}$ とした。いずれの模型においても天端上を越波しないようにした。

3. 実験結果および考察

Fig. 1 は、箱型消波工の場合の透過率 η_T と、壁厚 B と入射波長との比 B/L との関係を、波高をパラメータとして示したものである。Fig. 1 より明らかのように、箱型消波工透過部の透過率は B/L が大きくなるにつれて、減少する。

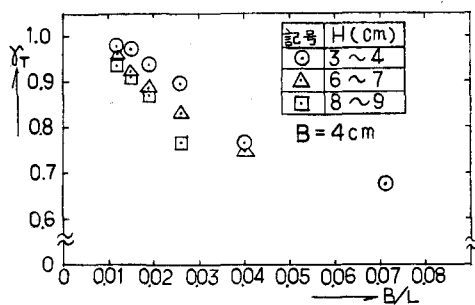


Fig. 1 箱型消波工の $\eta_T - B/L$

HASHIDA MISAO, TAKEMITSU YOSHINOBU, KAKUNO SYOHACHI

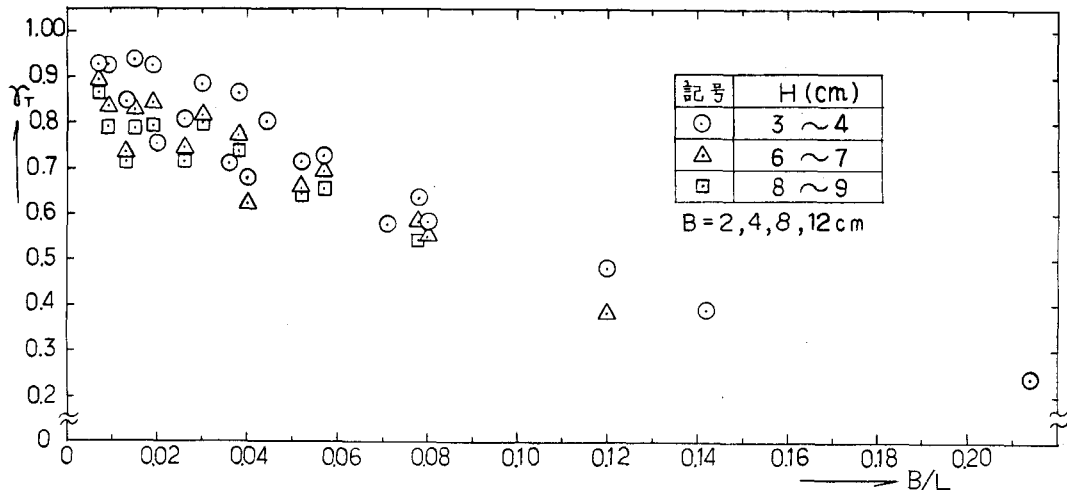


Fig. 2 鉛直多孔壁の R_T — B/L

る傾向が見られ、しかも、その減少の割合は、波高が大きくなるほど大きい。従来の研究に用いた箱型消波工の消波対象周期における B/L を逆算すれば $B/L = 0.026 \sim 0.061$ (現地において $T = 3.3 \text{ sec}, 4.0 \text{ sec}$ および 5.0 sec) と求められるから、そのときの R_T は Fig. 1 より、 $R_T \approx 0.70 \sim 0.80$ である。この R_T の値は、箱型消波工の反射率の理論値の算定に用いてきた $R_T = 0.70$ という値に近い。

Fig. 2 は、鉛直多孔壁の場合の R_T と B/L との関係を、Fig. 1 と同様に示したものである。 R_T の値にかなり変動が見られるが、全体として、箱型消波工の場合と同様に、 R_T は B/L が大きくなるにしたがって減少しており、しかも、波高が大きくなるほど減少の割合が大きいようである。箱型消波工と鉛直多孔壁のおのおのの $R_T - B/L$ の関係を比較してみると、同じ B/L および波高に対する R_T の値は全般に箱型消波工の方が鉛直多孔壁の場合に比べて大きい。これは、箱型消波工は下面板を有しているけれども、透過部が鉛直多孔壁構造と比べて静水面付近のみに存在する構造であるためであると考えられる。

参考文献)

- 1) 例えは永井, 角野: スリット型防波堤に関する研究, 第23回海講論文集, 1976
- 2) 角野, 犀田他: 箱型消波工の斜め入射波に対する反射率, 関西支部講演集, 1979
- 3) 長尾, 加藤: 直立消波岸壁に関する二、三の実験的研究, 第17回海講論文集, 1970
- 4) 松本, 永井他: 各種の防波堤隅角部の波浪特性に関する研究, 第22回海講論文集, 1975
- 5) 井島, 奥蔵他: 遊水部をもつ護岸に作用する斜め入射波の反射率について, 九大工学部集報51巻3号, 1978